

4.1 Relativistický popis častice

Relativistická častic je charakterizovaná:

- 4-vektorom polohy:

$$(ct, \vec{x}) \equiv (x^0, x^1, x^2, x^3) \equiv x^\mu \equiv x \quad (1)$$

- 4-hybnostou:

$$\left(\frac{E}{c}, \vec{x}\right) \equiv (p^0, p^1, p^2, p^3) \equiv p^\mu \equiv p \quad (2)$$

4-vektory x^μ a p^μ sú elementami 4-rozmerného pseudoeuklidovského priestoru M_4 (priestor súradníc a priestor hybností oddelene).

\Rightarrow Vlastnosti M_4

- Skalárny súčin dvoch 4-vektorov (v M_4) $A^\mu = (A^0, \vec{A})$ a $B^\mu = (B^0, \vec{B})$:

$$A \cdot B = A^0 B^0 - \vec{A} \cdot \vec{B} \quad (3)$$

- Rotácie v $M_4 \equiv$ Lorentzove transformácie \Rightarrow vytvárajú Lorentzovu grupu (LG).

Skalárny súčin je invariantom LG

- Kovariantný 4-vektor: $A^\mu = (A^0, -\vec{A}) \rightarrow$ pre skalárny súčin:

$$A \cdot B = A^\mu B_\mu = A_\mu B^\mu = g_{\mu\nu} A^\mu B^\nu = g^{\mu\nu} A_\mu B_\nu \quad (4)$$

kde $g_{\mu\nu}$ je metrický tenzor:

$$g_{\mu\nu} = g^{\mu\nu} = \begin{pmatrix} 1 & 0 & 0 & 0 \\ 0 & -1 & 0 & 0 \\ 0 & 0 & -1 & 0 \\ 0 & 0 & 0 & -1 \end{pmatrix} \quad (5)$$

- Invarianty LG

$$\rightarrow \text{ Interval: } x_\mu x^\mu = c^2 t^2 - \vec{x}^2 \quad (6a)$$

$$\rightarrow \text{ Hmotnostný štvorec: } p_\mu p^\mu = \frac{E^2}{c^2} - \vec{p}^2 = m^2 c^2 \quad (6b)$$

$$\rightarrow \text{ Fáza: } p_\mu x^\mu = Et - \vec{p} \cdot \vec{x} \quad (6c)$$

$$\text{Prirodzené jednotky: } c = 1 \ a \ \hbar = 1 \quad (7)$$

$$\rightarrow E^2 - \vec{p}^2 = m^2$$

\rightarrow QM – priradenie operátorov:

$$\vec{p} \rightarrow -i\hbar \nabla \equiv -i\hbar \left(\frac{\partial}{\partial x^1}, \frac{\partial}{\partial x^2}, \frac{\partial}{\partial x^3} \right) \quad \text{a} \quad E \rightarrow i\hbar \frac{\partial}{\partial t} \quad (8a)$$

v prirodzených jednotkách:

$$(E, \vec{p}) \rightarrow i \left(\frac{\partial}{\partial t}, -\nabla \right) \equiv i\partial^\mu \quad (8b)$$

$$\text{kovariantná forma operátora } \partial : \quad \partial_\mu \equiv \left(\frac{\partial}{\partial t}, \nabla \right) \quad (8c)$$

Skrátené zápis:

$$\begin{aligned} \frac{\partial}{\partial t} &\equiv \partial_t \equiv \partial_0 \\ &\quad \cdot \quad \cdot \quad \cdot \\ \frac{\partial}{\partial x^3} &\equiv \partial_z \quad \partial_3 \end{aligned} \quad (9)$$

4.2 Kleinova - Gordonova rovnica. Pojem antičastice

Majme relativistickú časticu s hybnosťou \vec{p} , vzťah pre energiu je: $E^2 = \vec{p}^2 + m^2$. Ak, ako v QM, zameníme E a \vec{p} operátormi:

$$(E, \vec{p}) \rightarrow i(\partial_t, \nabla),$$

zo vzťahu pre energiu dostaneme Kleinovu-Gordonovu (KG) rovnicu:

$$\begin{aligned} -\frac{\partial^2}{\partial t^2} \varphi + \nabla^2 \varphi &= m^2 \varphi \\ \text{resp.} \quad (\partial_\mu \partial^\mu + m^2) \varphi &= 0 \end{aligned} \tag{2.1}$$

kde

$\partial_\mu \partial^\mu = \partial_t^2 - \nabla^2$ je D'Alembertov operátor a $\varphi(t, \vec{r})$ je komplexná funkcia, od ktorej očakávame, že modul jej kvadrátu $|\varphi|^2$ bude hustotou pravdepodobnosti výskytu častice.

Riešenie pre volnú časticu s hybnosťou \vec{p} :

$$\varphi(t, \vec{x}) = N \cdot e^{-i(Et - \vec{p}\vec{x})} = N \cdot e^{-ipx} \tag{2.2}$$

Kde

$$E = \pm \sqrt{\vec{p}^2 + m^2}$$

sú vlastné hodnoty energie,

$$N \text{ je normovacia konštanta: } |\varphi|^2 = |N|^2 \text{ je hustota častíc.}$$

Problém:

Čo sebou predstavuje riešenie $E = -\sqrt{\vec{p}^2 + m^2} < 0$? Toto riešenie nemôžeme zavrhnúť, lebo systém stavov by nebol úplný.

Rovnica kontinuity (RK).

Z KG rovnice nasledovnou úpravou: $-i\boldsymbol{\varphi}^* \cdot \mathbf{K}\mathbf{G} + i\boldsymbol{\varphi} \cdot \mathbf{K}\mathbf{G}^*$

získavame:

$$\partial_t \underbrace{[i(\boldsymbol{\varphi}^* \partial_t \boldsymbol{\varphi} - \boldsymbol{\varphi} \partial_t \boldsymbol{\varphi}^*)]}_{\rho=j_0} + \nabla \cdot \underbrace{[i(\boldsymbol{\varphi}^* \nabla \boldsymbol{\varphi} - \boldsymbol{\varphi} \nabla \boldsymbol{\varphi}^*)]}_{\vec{j}} = 0 \quad (2.3a)$$

teda

$$\partial_t \rho + \nabla \cdot \vec{j} \equiv \partial_\mu j^\mu = 0 \quad (2.3b)$$

kde \mathbf{j}^μ je 4-vektor prúdovej hustoty spojený s riešením $\boldsymbol{\varphi}(x)$.

Aplikácia RK na riešenie pre voľnú časticu s hybnosťou \vec{p} dáva:

$$\mathbf{j}^\mu = |N|^2 \mathbf{p}^\mu \quad (2.4)$$

Pre riešenie so zápornou energiou ($E = -\sqrt{\vec{p}^2 + m^2} (= p^0) < 0$) máme $\rho < 0$! Teda zápornú pravdepodobnosť výskytu. Predpokladajme, že častica má náboj $-e$ a urobme zámenu:

$$\mathbf{j}^\mu \rightarrow -e \cdot \mathbf{j}^\mu$$

V ďalšom budeme pod 4-vektorom prúdovej hustoty chápať:

$$\mathbf{j}^\mu = -ie(\boldsymbol{\varphi}^* \partial^\mu \boldsymbol{\varphi} - \boldsymbol{\varphi} \partial^\mu \boldsymbol{\varphi}^*) \quad (2.5)$$

Interpretácia riešenia s $E < 0$ (Pauli a Weiskopf).

Pre voľnú časticu s hybnosťou \vec{p} energiou $E (>0)$ a nábojom $-e$ máme:

$$\mathbf{j}^\mu = -e|N|^2 \mathbf{p}^\mu$$

pre antičasticu s hybnosťou \vec{p} energiou $E (>0)$ a nábojom e máme:

$$\mathbf{j}^\mu = e|N|^2 \mathbf{p}^\mu = -e|N|^2(-E, -\vec{p}) \quad (2.6)$$

Teda prúdová hustota pre antičasticu s daným \vec{p} a $E (>0)$ sa zhoduje s prúdovou hustotou pre časticu s hybnosťou $-\vec{p}$ energiou $-E$.

Interpretácia: Emisia antičastice s energiou E nejakým systémom je ekvivalentná absorpcii častice s energiou $-E$ týmto systémom.

$$\begin{array}{c} \uparrow e^+ \\ | E > 0 \end{array} \equiv \begin{array}{c} | e^- \\ \downarrow E < 0 \end{array} \quad \uparrow \text{čas} \quad (2.7)$$

Ináč: riešenie pre časticu s $E < 0$ pohybujúce sa v čase dozadu popisujú antičastice s $E > 0$ pohybujúce sa v čase dopredu.

Príčina: faktor e^{-iEt} popisujúci evolúciu stacionárneho stavu systému je možné písat' nasledovne:

$$e^{-iEt} = e^{-i(-E)(-t)} \quad (2.8)$$

4.3 Nerelativistická poruchová teória

Uvažujme, v rámci QM-prístupu, voľnú časticu uzavretú v objeme. Stavy častice sú dané riešením Schrodingerovej rovnice (SchR):

$$\begin{aligned} H_0 \boldsymbol{\varphi}_n &= E_n \boldsymbol{\varphi}_n \quad \text{pritom} \quad \int \boldsymbol{\varphi}_m^*(\mathbf{x}) \cdot \boldsymbol{\varphi}_n d\mathbf{x} = \delta_{mn} \\ \boldsymbol{\varphi}(\mathbf{x}) &= \boldsymbol{\varphi}(\vec{x}, t) = \boldsymbol{\varphi}_n(\vec{x}) \cdot e^{-iE_n t} \end{aligned} \quad (3.1)$$

Ak častica sa pohybuje v nejakom silovom polí ($\mathbf{V}(\vec{x}, t)$), potom je treba riešiť časovú SchR:

$$i \frac{\partial \psi(\mathbf{x})}{\partial t} = (\mathbf{H}_0 + \mathbf{V}(\mathbf{x})) \psi(\mathbf{x}) \quad (3.2)$$

Ked'že $\{\boldsymbol{\varphi}_n\}$ je úplný systém funkcií riešenie rovnice (3.2) je možné hľadať v tvare:

$$\psi(\vec{x}, t) = \sum_n a_n(t) \cdot \phi_n(\vec{x}) \cdot e^{-iE_n t} \quad (3.3)$$

Aplikujúc $\int d^3\vec{x} \cdot \phi_f^*(\vec{x}) \cdot$ na (3.2) a vyjadriac ψ prostredníctvom (3.3) dostávame:

$$\frac{da_f(t)}{dt} = -i \sum_n a_n(t) \cdot \int d^3\vec{x} \phi_f^*(\vec{x}) V(\vec{x}, t) \phi_n(\vec{x}) \cdot e^{-i(E_n - E_f)t} \quad (3.4)$$

kde

$a_n(t)$ je amplitúda pravdepodobnosti výskytu (v čase t) častice v stave $|n\rangle$,

$V_{fn} = \int d^3\vec{x} \phi_f^*(\vec{x}) V(\vec{x}, t) \phi_n(\vec{x})$ je pravdepodobnosť prechodu častice zo stavu $|n\rangle$ do stavu $|f\rangle$.

Predpoklad: potenciál je malý a zapne sa v $t=-T/2$ a vypne sa v $t=T/2$. Pritom častica bola v stave $|i\rangle (\equiv \phi_i)$:

$$a_k(-\frac{T}{2}) = \begin{cases} 1 & k = i \\ 0 & k \neq i \end{cases} \quad (3.5)$$

Ak potenciál je malý a trvá krátko, potom podmienky (3.5) sú, v 1. Priblížení, splnené počas celého intervalu $(-T/2, T/2)$ a zo (3.4) a (3.5) vyplýva:

$$\frac{da_f(t)}{dt} = -i \int d^3\vec{x} \phi_f^*(\vec{x}) V(\vec{x}, t) \phi_i(\vec{x}) \cdot e^{-i(E_i - E_f)t} \quad (3.6)$$

Preintegrujúc (3.6) a použijúc označenie $x \equiv (t, \vec{x})$ dostávame:

$$T_{fi} = a_f(\frac{T}{2}) = -i \int d^4x \phi_f^*(x) V(x) \phi_i(x) \quad (3.7)$$

Predpokladajme, že potenciál nezávisí od času $V(x) = V(\vec{x})$ potom

$$\begin{aligned} T_{fi} &= -i \underbrace{\int d^3\vec{x} \phi_f^*(\vec{x}) V(\vec{x}) \phi_i(\vec{x})}_{V_{fi}} \cdot \underbrace{\int dt e^{-i(E_f - E_i)t}}_{2\pi\delta(E_f - E_i)} . \\ &= 2\pi \cdot V_{fi} \cdot \delta(E_f - E_i) \end{aligned} \quad (3.8)$$

Fermiho pravidlo. Pravdepodobnosť prechodu zo stavu $|i\rangle$ do stavu $|f\rangle$ je daná výrazom:

$$W_{fi} = \lim_{T \rightarrow \infty} \frac{|\mathbf{T}_{fi}|^2}{T} = 2\pi |V_{fi}|^2 \delta(E_f - E_i) \quad (3.9)$$

Vyššie rády poruchovej teórie

Ak v základnom vzťahu (3.4) pre $d\mathbf{a}_f(t)/dt$ vyjadríme $\mathbf{a}_n(t)$ pomocou (3.7), teda použijeme preň prvé priblíženie, dostaneme:

$$\frac{d\mathbf{a}_f(t)}{dt} = \underbrace{(\dots)_1}_{1. priblíženie} + (-i)^2 \sum_{n \neq i} V_{ni} \int_{-\infty}^t dt' e^{-i(E_i - E_n)t'} \mathbf{V}_{fn} e^{-i(E_n - E_f)t} \quad (3.10)$$

Pre amplitúdu prechodu platí

$$\mathbf{T}_{fi} = (\dots)_1 + (-i)^2 \sum_{n \neq i} \int_{-\infty}^{\infty} dt e^{-i(E_n - E_f)t} \cdot \mathbf{V}_{fn} \cdot \mathbf{V}_{ni} \cdot \int_{-\infty}^t dt' e^{-i(E_i - E_n)t'} \quad (3.11)$$

Aby integrál po dt' bol ohraničený (pri integrovaní do $-\infty$) dodáme do integrandu $e^{-t'}$, teda

$$\int_{-\infty}^t dt' \exp(-i(E_i - E_n)t') \rightarrow \int_{-\infty}^t dt' \exp(-i(E_i - E_n)t') = i \frac{\exp(-i(E_i - E_n + i\epsilon)t)}{E_i - E_n + i\epsilon} \quad (3.12)$$

Čo pre amplitúdu prechodu v druhom priblížení dáva:

$$\mathbf{T}_{fi} = -2\pi i \left(\mathbf{V}_{fi} + \sum_{n \neq i} \mathbf{V}_{fn} \cdot \frac{1}{E_n - E + i\epsilon} \cdot \mathbf{V}_{ni} \right) \delta(E_f - E_i) \quad (3.13)$$

Prechod zo stavu $|i\rangle$ do stavu $|f\rangle$ je možné zobraziť graficky (viď. Obr.1). Druhý člen poruchového radu je možné interpretovať nasledovne: na počiatku je častica v stave $|i\rangle$ v dôsledku prítomnosti poľa v určitom bode a čase preinteraguje a prejde do intermediálneho stavu $|n\rangle$, v ktorom sa šíri až do momentu, keď znova preinteraguje a prejde do



finálneho stavu $|f\rangle$. Interpretácia prvého člena poruchového radu je priamočiara. Vyššie členy poruchovej teórie je možné získať tak, že do základného vzťahu (4) dosadíme za $a_n(t)$ jeho vyjadrenie v d rade poruchovej teórie.

Celkovo uvažovaný rozptyl je možné charakterizovať nasledovne:

- Každý interakčný vrchol je charakterizovaný faktorom typu V_{ni} .
- Intermediálny stav $|n\rangle$ popisuje propagátor $-\frac{1}{E_i - E_n + i\epsilon}$; pre virtuálny stav neplatí zákon zachovania energie ($E_n \neq E_i$).
- Zákon zachovania energie platí pre počiatočný a konečný stav $\rightarrow \delta(E_f - E_i)$.

Čo uvedená poruchová teória neobsahuje:

- Diagramy na Obr. 1 predstavujú rozptyl na statickom potenciále a nás zaujíma rozptyl častice v poli inej častice.
- Je treba popísat interakciu antičastíc.

4.4 Častica so spinom $S=0$ v elektromagnetickom poli.

Predpokladajme nasledovné:

- El.-mag. Pole je popísané 4-potenciálom: $A^\mu = (A^0, \vec{A})$
- častica má spin $S=0$, hybnosť \vec{p} a náboj $-e$.

Z teórie el.-mag. poľa máme:

Pohyb nabitej častice v poli A^μ dostaneme z voľného pohybu zámenou:

$$p^\mu \rightarrow p^\mu - e A^\mu, \text{ resp. v QM: } i\partial \rightarrow i\partial + e A^\mu.$$

Rovnica pre pohyb nabitej častice v poli A^μ :

$$(\partial_\mu \partial^\mu + m^2) \phi = \underbrace{(ie(\partial_\mu A^\mu + A_\mu \partial^\mu) + e^2 A^2)}_{-V} \phi \quad (4.1)$$

Prvý rám poruchovej teórie:

- Častica je na počiatku v stave ϕ_i a v dôsledku interakcie prechádza do stavu ϕ_f ,
- v potenciáli V zanedbávame členy $\sim e^2$.

Pre element prechodu platí:

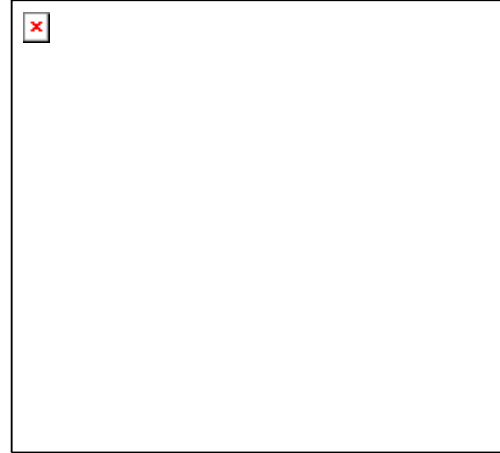
$$\begin{aligned} T_{fi} &= -i \int dx \phi_f^*(x) V(x) \phi_i(x) = i \int dx \phi_f^*(x) (-ie)(\partial_\mu A^\mu + A^\mu \partial_\mu) \phi_i(x) \\ &= -i \int (-ie) [\phi_f^* \partial_\mu (A^\mu \phi_i) + \phi_f^* (\partial_\mu \phi_i) A^\mu] dx \\ &= -i \int dx (-ie) \underbrace{[-(\partial_\mu \phi_f^*) \phi_i + \phi_f^* (\partial_\mu \phi_i)]}_{j_\mu(x)} A^\mu \\ &= -i \int dx j_\mu(x) A^\mu(x) \end{aligned} \quad (4.2)$$

Kde sme využili:

$$\partial_\mu (\phi_f^* A^\mu \phi_i) = (\partial_\mu \phi_f^*) A^\mu \phi_i + \phi_f^* \partial_\mu (A^\mu \phi_i) \quad \text{a fakt, že } \int dx \partial_\mu (\cdots) = 0$$

Tok spojený s prechodom častice zo stavu ϕ_i do stavu ϕ_f :

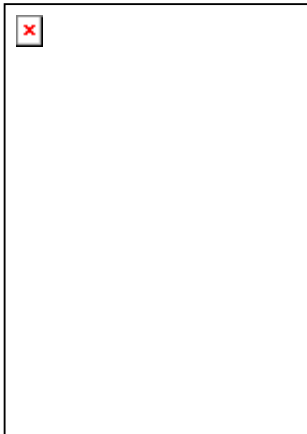
$$\begin{aligned} j_{\mu}^{fi}(x) &= -ie[\phi_f^*(x)\partial_{\mu}\phi_i(x) - (\partial_{\mu}\phi_f^*(x))\phi_i(x)] \\ &= eN_i N_f (\mathbf{p}_i + \mathbf{p}_f)_{\mu} \cdot \exp(i(\mathbf{p}_f - \mathbf{p}_i)x) \end{aligned} \quad (4.3)$$



Obr. 1: Grafické znázornenie amplitúdy T_{fi} :

častica so spinom 0 sa rozptyluje na
statickom potenciáli A^{μ}

Rozptyl dvoch častíc so spinom 0.



Na problém rozptylu dvoch častic so spinom 0 sa pozéráme tak, že prvá častica sa pohybuje v poli potenciálu druhej častice. Pritom pre potenciál $A_{(2)}^{\mu}$ generovaný druhou časticou platí:

$$\nabla^2 A_{(2)}^{\mu}(x) = j_{(2)}^{\mu}(x) \quad (4.4)$$

kde

$$j_{(2)}^{\mu}(x) = -eN_2 N_4 (\mathbf{p}_B + \mathbf{p}_D)^{\mu} e^{-i(\mathbf{p}_D - \mathbf{p}_B)x}$$

Riešenie je:

$$A_{(2)}^{\mu}(x) = -\frac{1}{q^2} j_{(2)}^{\mu}(x), \quad q = \mathbf{p}_D - \mathbf{p}_B \quad (4.5)$$

Pre amplitúdu rozptylu dvoch častíc so spinom 0 (napr. π a K) dostávame:

$$T_{fi} = -i \int d^4x j_{\mu}^{(I)}(x) A_{(2)}^{\mu}(x) = -i \int d^4x j_{\mu}^{(I)}(x) \frac{1}{q^2} j_{(2)}^{\mu}(x) = -i \int d^4x j_{(I)}^{\mu}(x) \frac{g_{\mu\nu}}{q^2} j_{(2)}^{\nu}(x) \quad (4.6)$$

Kde

$j_\mu^{(I)}(x) \left(j_\mu^{(2)}(x) \right)$ je prúdová hustota spojená s prechodom $\pi(K)$ z počiatočného do

konečného stavu ($|i\rangle \rightarrow |f\rangle$). Veličina $\frac{g_{\mu\nu}}{q^2}$ je propagátor fotónu.

Ak vo vzťahu (8) vyjadríme $j_\mu^{(I)}(x) \left(j_\mu^{(2)}(x) \right)$ pomocou (4) a preintegrujeme – dostaneme:

$$T_{fi} = -iN_1 N_2 N_3 N_4 \cdot (2\pi)^4 \delta^4(p_1 + p_2 - p_3 - p_4) \cdot M_{fi} \quad (4.7)$$

kde

$$-iM_{fi} = ie(p_1 + p_3)^\mu \left(-i \frac{g_{\mu\nu}}{q^2} \right) ie(p_2 + p_4)^\nu \quad (4.8)$$

Poznámka: Je dôležité si všimnúť symetriu medzi oboma časticami (π a K).

Normovanie. Jedno z možných normovaní je normovanie **na 1 časticu v objemu V** .

$$\varphi(t, \vec{x}) = N \cdot e^{-ipx} = \frac{1}{\sqrt{2E \cdot V}} e^{-ipx} \quad (4.9)$$

Pritom sa často berie $V=1$. Použijúc rovnicu kontinuity dostávame:

$$\int_V d^3 \vec{x} \rho = 1$$

4.5 Vzťah medzi učinným prierezom a amplitúdou prechodu

Vzťah experimentálne meranej veličiny (účinný prierez) a veličiny danej teóriou (amplitúdy prechodu):

$$d\sigma = \frac{W_{fi}}{|\vec{v}| \rho_1 \rho_2} \cdot d\Omega \quad (5.1)$$

kde

- W_{fi} je pravdepodobnosť prechodu za jednotku času:

$$W_{fi} = \frac{|T_{fi}|^2}{VT} = \frac{|M_{fi}|^2}{2E_1 2E_2 2E_3 2E_4 \cdot V^4} (2\pi)^4 \delta^4(p_1 + p_2 - p_3 - p_4) \quad (5.2)$$

- Hustota počiatocných stavov:

$$|\vec{v}| \rho_1 \rho_2 = \frac{|\vec{v}|}{V^2} \quad (5.3)$$

- $d\Omega$ je počet konečných stavov:

$$d\Omega = \frac{V d^3 p_3}{(2\pi)^3} \frac{V d^3 p_4}{(2\pi)^3} \quad (5.4)$$

Po dosadení (5.3-5) do (5.2) dostávame:

$$d\sigma = |M_{fi}|^2 \frac{1}{|\vec{v}| 2E_1 2E_2} \cdot \frac{d^3 p_3}{(2\pi)^3 2E_3} \frac{d^3 p_4}{(2\pi)^3 2E_4} \cdot (2\pi)^4 \delta^4(p_1 + p_2 - p_3 - p_4) \quad (5.5)$$

Analogicky pre rýchlosť rozpadu ($A \rightarrow 1+2+\dots+n$):

$$d\Gamma = |M_{A \rightarrow 1\dots n}|^2 \frac{1}{2E_A} \cdot \frac{d^3 p_1}{(2\pi)^3 2E_1} \cdots \frac{d^3 p_n}{(2\pi)^3 2E_n} \cdot (2\pi)^4 \delta^4(p_A - p_1 - \cdots - p_n) \quad (5.6)$$

Dvojčasticový fázový priestor.

V prípade 2-časticového finálneho stavu pre fázový priestor (po zahrnutí δ -funkcie) máme:

$$\begin{aligned} dLips_2(P) &= \frac{Vd^3 p_3}{2E_3(2\pi)^3} \frac{Vd^3 p_4}{2E_4(2\pi)^3} (2\pi)^4 \delta^4(P - p_3 - p_4) = \\ &= \frac{I}{(2\pi)^2} d^4 p_3 \delta(p_3^2 - m_3^2) \Theta(p_3^0) \cdot d^4 p_4 \delta(p_4^2 - m_4^2) \Theta(p_4^0) \cdot \delta^4(P - p_3 - p_4) \end{aligned} \quad (5.7)$$

kde m_3 a m_4 sú hmotnosti výstupných častíc a $P = p_1 + p_2$ je celková hybnosť vstupných častíc.

Využili sme pritom vlastnosti δ -funkcie:

$$\int g(x) \delta(f(x)) dx = \int g(x) \frac{1}{|f'(x)|} \delta\left(x - \sum_i x_i\right) \quad (5.8)$$

Kde x_i sú nulové body funkcie $f(x)$.

Ked' preintegrujeme (5.7) cez $d^4 p_4$ následne cez dp_3^0 dostávame:

$$\begin{aligned} dLips_2(P) &= \frac{I}{(2\pi)^2} d^4 p_3 \delta(p_3^2 - m_3^2) \cdot \delta((P - p_3)^2 - m_4^2) \Theta(p_3^0) \\ &\xrightarrow{\text{int } p_3^0} \frac{I}{(2\pi)^2} \frac{d^3 p_3}{2E_3} \cdot \delta((P - p_3)^2 - m_4^2) \end{aligned} \quad (5.9)$$

Ak prejdeme do sférických súradníč ($d^3 p_3 = p^2 dp d \cos \theta d\phi$,

$p = \sqrt{(p_3^1)^2 + (p_3^2)^2 + (p_3^3)^2}$) nakoniec dostaneme:

$$\begin{aligned} dLips_2(P) &= \frac{I}{(2\pi)^2} d \cos \theta d\phi dp \frac{p^2}{2\sqrt{p^2 + m_3^2}} \cdot \delta(M^2 - 2M\sqrt{p^2 - m_3^2} + m_3^2 - m_4^2) = \\ &= \frac{I}{(2\pi)^2} d \cos \theta d\phi \frac{\lambda^{1/2}(M^2, m_3^2, m_4^2)}{8M^2} \end{aligned} \quad (5.9)$$

kde $\lambda(a, b, c) = a^2 + b^2 + c^2 - 2ab - 2ac - 2bc$